

(本试剂盒仅供体外研究使用， 不用于临床诊断！)

产品货号：GBQ199

产品规格：96T(40 samples)

检测仪器：酶标仪(440-460 nm)

Elabscience®谷氨酸脱氢酶(GDH)比色法测试盒

Glutamate Dehydrogenase (GDH) Activity Assay Kit

使用前请仔细阅读说明书。如果有任何问题，请通过以下方式联系我们：

电话：400-999-2100

邮箱：biochemical@elabscience.cn

网址：www.elabscience.cn

具体保质期请见试剂盒外包装标签。请在保质期内使用试剂盒。

联系时请提供产品批号(见试剂盒标签)，以便我们更高效地为您服务。

用途

本试剂盒适用于检测血清(浆)、尿液及动物组织样本中谷氨酸脱氢酶(GDH)的活力。

检测原理

谷氨酸脱氢酶 (Glutamate Dehydrogenase, GDH) 可以催化谷氨酸可逆氧化脱氨为 α -酮戊二酸，是碳代谢和氮代谢过程中得一个关键酶。血清中 GDH 活性可作为肝细胞癌变的重要指标之一，同时也为其他疾病的诊断提供一定的应用价值。GDH 催化谷氨酸脱氢，将 NAD⁺还原成 NADH；生成的 NADH 在电子传递物质的作用下将 WST-8 还原生成橙黄色物质，该物质在 450nm 左右检测有最大吸收峰，根据吸光度变化速率来反映出样本酶活力大小。

本试剂盒检测组织样本时，需测定总蛋白浓度，推荐使用本公司 BCA 试剂盒(货号 GBQ162)进行测定。

提供试剂和物品

编号	名称	规格 (Size)(96 T)	保存方式 (Storage)
试剂一 (Reagent 1)	提取液 (Extraction Solution)	50 mL×1 瓶	2-8°C 保存 6 个月
试剂二 (Reagent 2)	缓冲液 (Buffer Solution)	15 mL×1 瓶	2-8°C 保存 6 个月
试剂三 (Reagent 3)	底物 A (Substrate A)	粉剂×1 支	2-8°C 避光 保存 6 个月
试剂四 (Reagent 4)	底物 B (Substrate B)	5 mL×1 瓶	2-8°C 保存 6 个月
试剂五 (Reagent 5)	显色剂 (Chromogenic Agent)	1.2 mL×2 支	2-8°C 避光 保存 6 个月
试剂六 (Reagent 6)	标准品 (Standard)	粉剂×2 支	2-8°C 避光 保存 6 个月
	96 孔酶标板	96 孔×1 块	无要求
	96 孔覆膜	2 张	

	样本位置标记表	1 张	
--	---------	-----	--

说明：试剂严格按照上表中的保存条件保存，不同测试盒中的试剂不能混用。

对于体积较少的试剂，使用前请先离心，以免量取不到足够量的试剂。

所需自备物品

仪器：酶标仪(440-460 m, 最佳检测波长 450 m), 恒温箱(37°C)、匀浆机、低温离心机。

试剂：双蒸水

试剂准备

① 检测前，所有的试剂平衡至室温。

② 试剂三工作液配制：

取一支试剂三，加入1.5 mL双蒸水溶解，置于冰盒上待用，2-8°C避光保存7天。

③ 试剂四工作液配制：

按试剂三工作液：试剂四=1: 2的体积比混匀，现配现用，按需配制，12小时内使用完毕。

④ 试剂五工作液配制：

按试剂二：试剂五=6: 1的体积比混匀，现配现用，按需配制，避光保存，当天使用完毕。

⑤ 1 mmol/L标准品配制：

取一支试剂六，加入0.5 mL双蒸水溶解，置于冰盒上待用，2-8°C避光保存七天。

⑥ 不同浓度标准品的稀释：

编号	①	②	③	④	⑤	⑥	⑦	⑧
标准品浓度(mmol/L)	0	0.05	0.10	0.20	0.25	0.30	0.40	0.50
1 mmol/L 标准品(μL)	0	10	20	40	50	60	80	100
双蒸水(μL)	200	190	180	160	150	140	120	100

样本准备

① 样本处理

血清血浆样本：直接测定(若样本浑浊，可 $10000 \times g$ 离心 10 min 后取澄清部分使用)。

组织样本：匀浆介质为试剂一，若离心后上清液浑浊，可将上清反复离心至清澈，取上清待用，留取部分上清检测蛋白浓度。

② 样本的稀释

在正式检测前，需选择2-3个预期差异大的样本稀释成不同浓度进行预实验，根据预实验的结果，结合本试剂盒的线性范围：0.54-25.0 U/L，请参考下表稀释(仅供参考)：

样本	稀释倍数	样本	稀释倍数
10%大鼠肝组织	3-5	10%大鼠肾组织	不稀释
10%大鼠心组织	不稀释	10%大鼠脑组织	不稀释
10%大鼠脾组织	不稀释	10%大鼠肺组织	不稀释
10%小鼠肝组织	不稀释	10%小鼠肾组织	不稀释
10%小鼠脾组织	不稀释	10%小鼠肺组织	不稀释
人血清	不稀释	人血浆	不稀释
大鼠血清	不稀释	大鼠血浆	不稀释

注：稀释液为试剂一。

实验关键点

- ① 试剂三、配制后的标准品溶液 2-8°C 避光保存，一周内使用完毕。
- ② 试剂五工作液现配现用，避光保存，当天使用完毕。

操作步骤

- ① 标准孔：取 20 μL 不同浓度标准品加入到相应标准孔中。
对照孔：取 20 μL 待测样本加入到相对应对照孔中。
测定孔：取 20 μL 待测样本加入到相应测定孔中。
- ② 向步骤①中对照孔加入 60 μL 双蒸水，测定管和标准孔中加入 60 μL 试剂四工作液。
- ③ 向步骤②各孔加入 140 μL 试剂五工作液。
- ④ 振板 5 s，37°C 避光孵育 20 min，酶标仪 450 nm 处测定各孔 OD 值。

操作表

	标准孔	对照孔	测定孔
不同浓度标准品(μL)	20	--	--
样本(μL)	--	20	20
双蒸水(μL)	--	60	
试剂四工作液(μL)	60	--	60
试剂五工作液(μL)	140	140	140
振板 5 s，37°C 避光孵育 20 min，酶标仪 450 nm 处测定各孔 OD 值。			

本试剂盒检测组织样本时，需测定总蛋白浓度，推荐使用本公司 BCA 试剂盒(货号 GBQ162)进行测定。

结果计算

标准品拟合曲线: $y = ax + b$

组织样本中谷氨酸脱氢酶酶活:

定义: 37°C 条件下, 每克组织蛋白每分钟水解底物生成 1 μmol 产物所需要的 GDH 酶活定义为一个酶活力单位。

$$\text{GDH 活力} = \frac{\Delta A - b}{a} \div C_{pr} \div T \times f \times 1000^*$$

(U/gprot)

血清血浆中谷氨酸脱氢酶酶活:

定义: 37°C 条件下, 每升血清/血浆样本每分钟水解底物生成 1 μmol 产物所需要的 GDH 酶活为一个活力单位。

$$\text{GDH 活力} = \frac{\Delta A - b}{a} \div T \times f \times 1000^*$$

(U/L)

注解:

y: 标准品 OD 值-空白 OD 值(标准品浓度为 0 时的 OD 值)

x: 标准品的浓度

a: 标曲的斜率

b: 标曲的截距

ΔA : 样本测定 OD 值-样本对照 OD 值

T: 孵育反应时间, 20 min

C_{pr} : 组织样本蛋白浓度: gprot/L

f: 样本加入检测体系前的稀释倍数

1000*: 1 mmol/L = 1000 $\mu\text{mol}/\text{L}$

附录1 关键数据

1. 技术参数

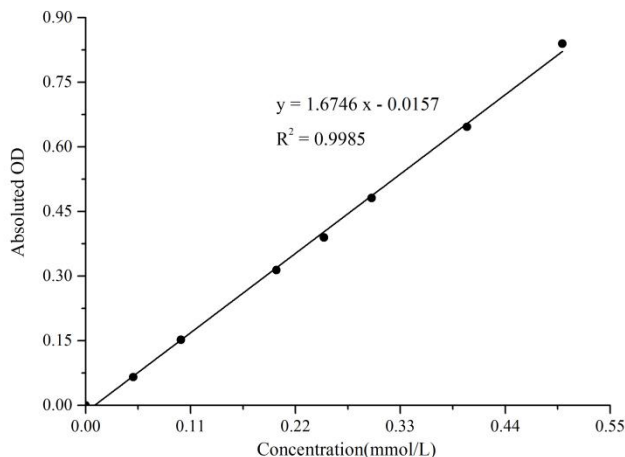
检测范围	0.54-25.0 U/L	平均批间差	4.0 %
灵敏度	0.54 U/L	平均批内差	3.0 %
平均回收率	103 %		

2. 标准曲线(数据仅供参考)

①不同浓度的标准品加样量20 μ L，按照操作步骤进行实验，各管OD值如下表所示：

标准品浓度 (mmol/L)	0	0.05	0.10	0.20	0.25	0.30	0.40	0.50
OD 值	0.049	0.119	0.196	0.359	0.432	0.529	0.674	0.887
	0.049	0.110	0.206	0.367	0.445	0.532	0.717	0.891
平均 OD 值	0.049	0.115	0.201	0.363	0.439	0.531	0.696	0.889
绝对 OD 值	0.000	0.066	0.152	0.314	0.390	0.482	0.647	0.840

②绘制标准曲线：



附录2 实例分析

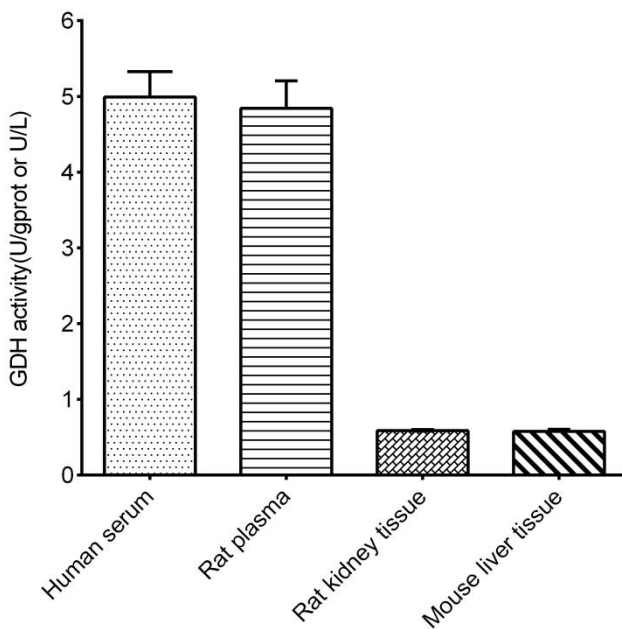
例如检测大鼠肾组织(数据仅供参考):

取10%大鼠肾组织样本，按操作表操作，结果如下：

标准曲线： $y = 1.6746x - 0.0157$ ，样本对照孔平均OD值为0.299，样本测定孔平均OD值为0.554，10%大鼠肝脏组织匀浆蛋白浓度为13.76 gprot/L计算结果为：

$$\text{GDH 活力} = \frac{(0.554 - 0.299) + 0.0157}{1.6746} \div 13.76 \div 20 \times 1000 = 0.59 \text{ U/gprot}$$

按照说明书操作，测定人血清(加样量20 μL)、大鼠血浆(加样量20 μL)、大鼠肾脏组织(10%匀浆蛋白浓度为13.76 gprot/L，加样量20 μL)、小鼠肝组织(10%匀浆蛋白浓度为20.28 gprot/L，加样量20 μL)中GDH活力(如下图)：



附录3 问题答疑

问题	可能原因	建议解决方案
测试结果偏低	样本稀释倍数较大	增加样本匀浆浓度
	试剂三配制时间过久	试剂三工作液在一周内使用完毕

声明

1. 试剂盒仅供研究使用，如将其用于临床诊断或任何其他用途，我公司将不对因此产生的问题负责，亦不承担任何法律责任。
2. 实验前请仔细阅读说明书并调整好仪器，严格按照说明书进行实验。
3. 实验中请穿着实验服并戴乳胶手套做好防护工作。
4. 试剂盒检测范围不等同于样本中待测物的浓度范围。如果样品中待测物浓度过高或过低，请对样本做适当的稀释或浓缩。
5. 若所检样本不在说明书所列样本类型之中，建议先做预实验验证其检测有效性。
6. 最终的实验结果与试剂的有效性、实验者的相关操作以及实验环境等因素密切相关。本公司只对试剂盒本身负责，不对因使用试剂盒所造成的样本消耗负责，使用前请充分考虑样本可能的使用量，预留充足的样本。

附录4 客户发表文献

1. Tseng S.Ja. An acid degradable, lactate oxidizing nanoparticle formulation for non-small cell lung cancer virotherapy[J]. Nano Today. IF:18.962
2. Salman T M, Iyanda M A, Alli-Oluwafuyi A M, et al. Telfairia occidentalis stimulates hepatic glycolysis and pyruvate production via insulin-dependent and insulin-independent mechanisms[J]. Metabolism Open, 2021, 10(1-10):100092. IF:8.694
3. Zhang Y, Wang Z, Shi B, et al. Effect of gingival mesenchymal stem cell-derived exosomes on inflammatory macrophages in a high-lipid microenvironment[J]. International Immunopharmacology, 2021, 94(9499):107455. IF:4.932
4. Alsayyah A, ElMazoudy R, Al-Namshan M, et al. Chronic neurodegeneration by aflatoxin B1 depends on alterations of brain enzyme activity and immunoexpression of astrocyte in male rats[J]. Ecotoxicology and environmental safety, 2019, 182: 109407. IF:4.527
5. Faheem M. Synthesis and Biological Evaluation of Benzimidazole Derivatives as Potential Neuroprotective Agents in an Ethanol-Induced Rodent Model[J]. ACS Chemical Neuroscience, 2021, 12(3):489–505. IF:4.418
6. Ren F , Xu X , Xu J B , et al. Compound essential oils relieve oxidative stress caused by PM 2. 5 exposure by inhibiting autophagy through the AMPK / mTOR pathway[J]. Environmental Toxicology, 2021 Sep; 36(9):1765-1774. IF:4.119
7. Mohsin Alvi A, Tariq Al Kury L, Umar Ijaz M, et al. Post-Treatment of Synthetic Polyphenolic 1, 3, 4 Oxadiazole Compound A3, Attenuated Ischemic Stroke-Induced Neuroinflammation and Neurodegeneration[J]. Biomolecules, 2020, 10(6): 816. IF:4.082
8. Darband S G, Sadighparvar S, Yousefi B, et al. Quercetin attenuated oxidative DNA damage through NRF2 signaling pathway in rats with DMH induced colon carcinogenesis[J]. Life sciences, 2020(253-). IF:3.708
9. Shah F A, Ali T, Khan A U. Potent Natural Antioxidant Carveol Attenuates MCAO-induced Oxidative stress, Neurodegeneration by Regulating the Nrf-2 pathway[J]. Frontiers in Neuroscience, 2020, 14: 659. IF:3.707
10. Amany Abdel-Rahman Mohamed , Safaa I. Khater , Ahmed Hamed Arisha , et al. Chitosan-stabilized selenium nanoparticles alleviate cardio-hepatic damage in type 2 diabetes mellitus model via regulation of caspase, Bax/Bcl-2, and Fas/FasL-pathway[J]. Gene, 2020, 768(7):145288. IF:3.688
11. Amany Abdel-Rahman Mohamed , Safaa I. Khater , Ahmed Hamed Arisha , et al. Chitosan-stabilized selenium nanoparticles alleviate cardio-hepatic damage in type 2

- diabetes mellitus model via regulation of caspase, Bax/Bcl-2, and Fas/FasL-pathway[J]. Gene, 2020, 768(7):145288. IF:3.688
- 12. Yu H, Zhang L, Chen P, et al. Dietary bile acids enhance growth, and alleviate hepatic fibrosis induced by a high starch diet via AKT/FOXO1 and cAMP/AMPK/SREBP1 pathway in *Micropterus salmoides*[J]. Frontiers in Physiology, 2019, 10. IF:3.367
 - 13. Li J, Ma X J, Wu X, et al. Adiponectin modulates steroid hormone secretion, granulosa cell proliferation and apoptosis via binding its receptors during hens' high laying period[J]. Poultry Science, 2021, 100(7): 101197. IF:3.352
 - 14. Fu H, Liu L, Tong Y, et al. The antidepressant effects of hesperidin on chronic unpredictable mild stress-induced mice[J]. European Journal of Pharmacology, 2019. IF:3.04
 - 15. Guo Y, Liu C, Zhang J, et al. A relationship between MAPK/ERK pathway expression and neuronal apoptosis in rats with white matter lesions[J]. European review for medical and pharmacological sciences, 2020, 24(8): 4412-4419. IF:3.024
 - 16. Li L C , Dong S H , Li S H , et al. Downregulation of circular RNA circDOCK7 identified from diabetic rats after sleeve gastrectomy contributes to hepatocyte apoptosis through regulating miR-139-3p and MCM3[J]. Biochemical and Biophysical Research Communications, 2021, 548:134-142. IF:2.985
 - 17. Kumar S, Ivanov S, Lagunin A, et al. Attenuation of Hyperhomocysteinemia Induced Vascular Dementia by Sodium Orthovanadate Perhaps via PTP1B: Pertinent Downstream Outcomes[J]. Behavioural Brain Research, 2019. IF:2.77
 - 18. Yin X, Zhao J, Jiang H, et al. Impact of Xenon on CLIC4 and Bcl-2 Expression in Lipopolysaccharide and Hypoxia-Ischemia-Induced Periventricular White Matter Damage[J]. Neonatology, 2018. IF:2.554
 - 19. Pan H Z, Zhang L J, Liu Y W, et al. Cold-inducible RNA binding protein agonist enhances the cardioprotective effect of UW solution during extended heart preservation[J]. Artificial Organs, 2020. IF:2.259
 - 20. Uysal N, Yuksel O, Kizildag S, et al. Regular Aerobic Exercise Correlates with Reduced Anxiety and Increased Levels of Irisin in Brain and White Adipose Tissue[J]. Neuroscience Letters, 2018. IF:2.173
 - 21. Jasiński Tomasz , Bręborowicz Andrzej . Hyaluronan reduces colitis-induced intraperitoneal inflammation during peritoneal dialysis[J]. Peritoneal Dialysis International, 2021. IF:1.756

22. Yin S, Feng Z, Mo A, et al. Effect of Shenfu Injection on Isolated Empty Beating Hearts from Miniature Pigs[J]. Brazilian Journal of Cardiovascular Surgery, 2020 (AHEAD). IF:1.053
23. Olakanmi Bodun O, Olorundare Olufunke E, Afolabi Olanrewaju O, et al. Assessment of the Effects of Crude Methanolic Extracts (Leaf and Twig) of Loranthus micranthus on Streptozotocin Induced Diabetic Rats[J]. Journal of Diabetes and Islet Biology, 2020, 10: 2641-8975.